

# Esperimento Marix-Rad: Gruppo V Bologna

Durata 1 anno.

Sezioni partecipanti: BO, FE, NA, MI

Collaborazioni con: Istituti Ortopedici Rizzoli, Technische Universität München

Coordinatore Nazionale: *Paolo Cardarelli*. Coordinatore locale: *Armando Bazzani*

Partecipanti: *Gastone Castellani, Lorenzo Isolan, Carlo Emilio Montanari,  
Sandro Rambaldi, Marco Sumini*

Collaboratori esterni: *Giorgio Turchetti (INDAM/GNFM), Massimo Placidi (Berkeley LBNL)*

# Obiettivo

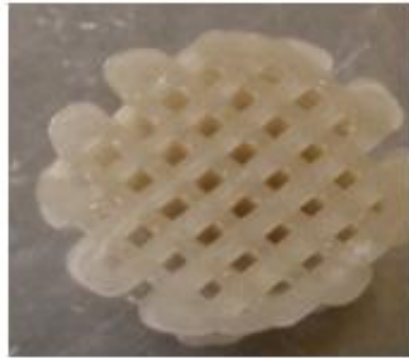
Analisi di campioni biomimetici, realizzati con stampanti 3D, tramite X-ray imaging dual energy e PPCI presso la sorgente Compton MuCLS di Monaco.

Simulazioni delle immagini ottenute con MuCLS.

Confronto con immagini da microtomography convenzionale con mezzo di contrasto.

I campioni: realizzati mediante stampante 3D partendo da immagini tomografiche X o NMR. **Dr. Brunella Grigolo**

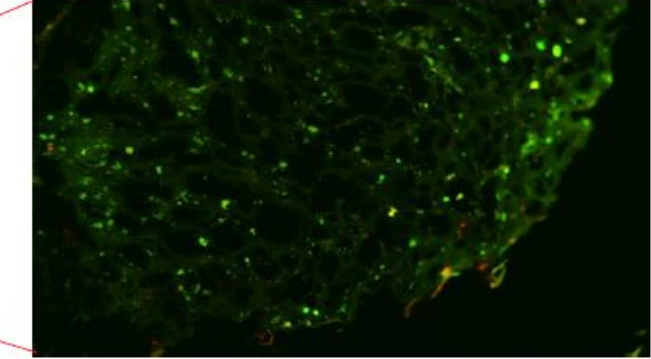
SERVIZIO SANITARIO REGIONALE  
EMILIA - ROMAGNA  
Istituto Ortopedico Rizzoli di Bologna  
Istituto di Ricovero e Cura a Carattere Scientifico



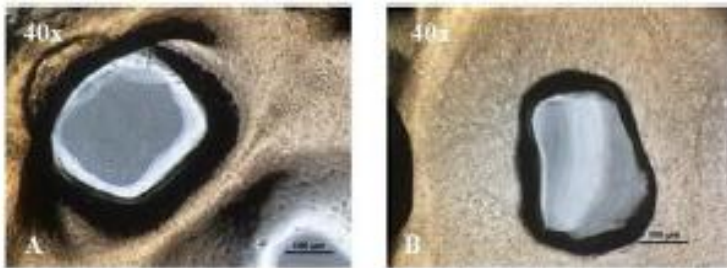
Materiale biocompatibile



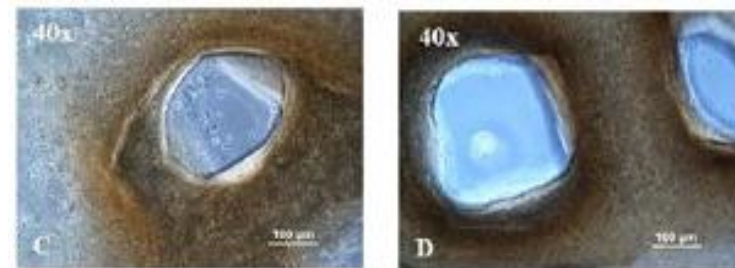
Menisco in collagene con staminali



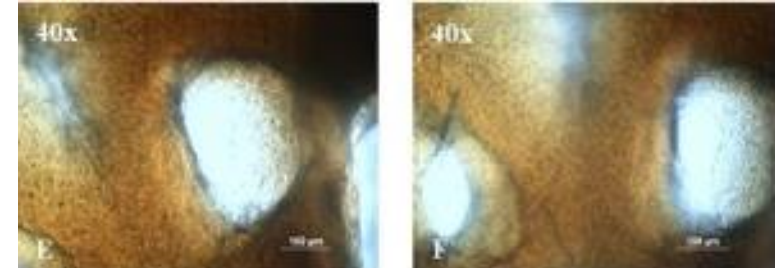
Sopravviv. cellule a 28 giorni



Dopo la stampa



Giorno 14 dopo impianto



Giorno 28

Follow up attuale: mediante istologia con sacrificio del coniglio impiantato.

Impossibile su paziente tranne il caso di un secondo intervento.

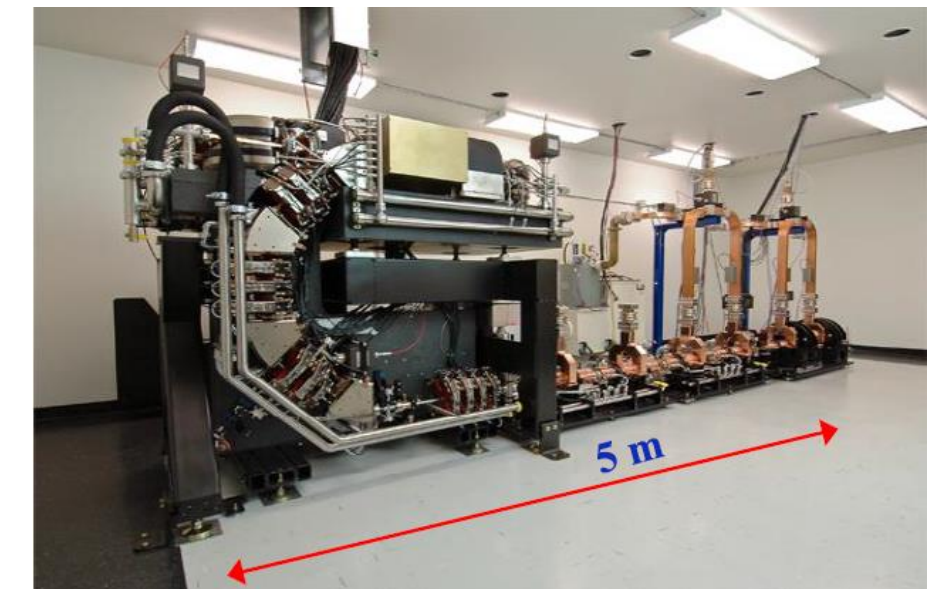
Prospettive imaging ICS: follow up anatomico e funzionale non invasivo dell'impianto.

**Sorgente ICS di Monaco**: anello accumulazione e + ricircolatore luce laser.

Energia  $E_e \leq 44$  MeV

X-ray:  $E_X \leq 35$  keV, flusso  $\sim 10^{11}$  ph/s

**Imaging programmato**: contrasto di **fase PPCI** e **dual energy** (X energy shift  $\sim 2$  keV ).



Dual energy per tessuti molli ottimale con sorgente monocromatica. Un confronto sugli stessi campioni non è stato ancora mai eseguito. La formalizzazione dell'accordo per l'attività sperimentale è in fase conclusiva.

**Imaging possibile**: utilizzo di un **mezzo contrasto** come lo iodio per sottrazione K-edge a 33 keV, oppure nanoparticelle d'oro. Gli agenti di contrasto cationici sono indicati per cartilagini e menisco.

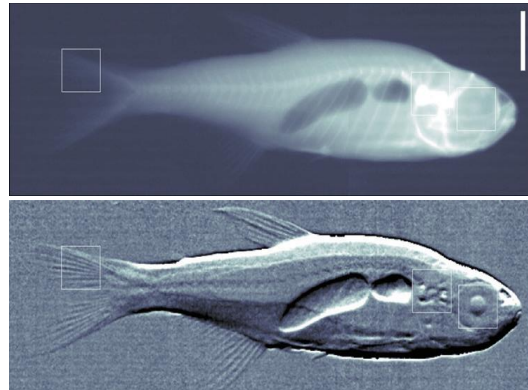


# PHASE-CONTRAST IMAGING

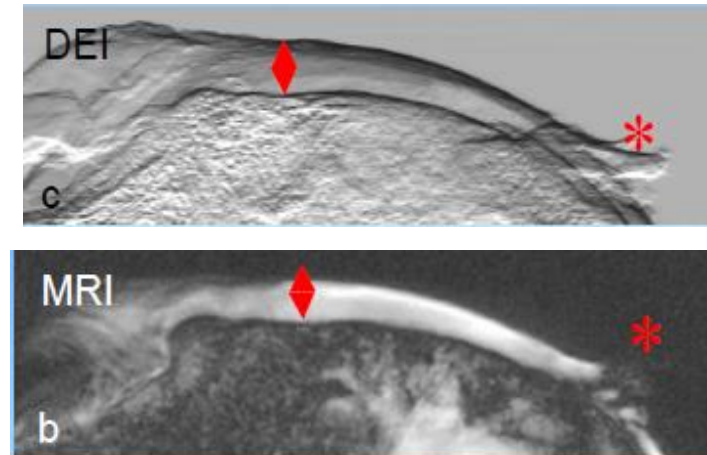
A brilliant **coherent** (or partially coherent) source allows to take advantage of X-ray refraction

## X-ray Phase-Contrast Imaging

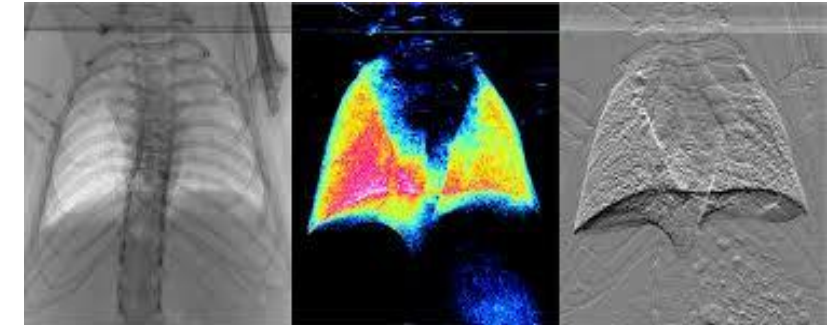
high-resolution images of low contrast details not visible in conventional absorption X-ray imaging



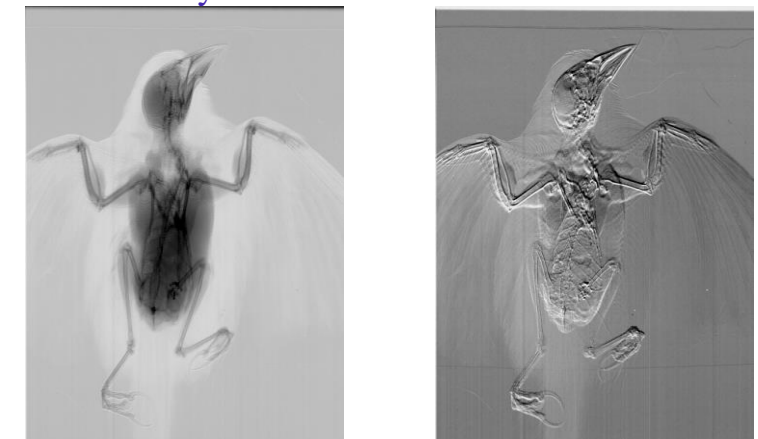
Courtesy: F. Pfeiffer et al. / TUM



Courtesy: G. Tromba et al. / Elettra TS



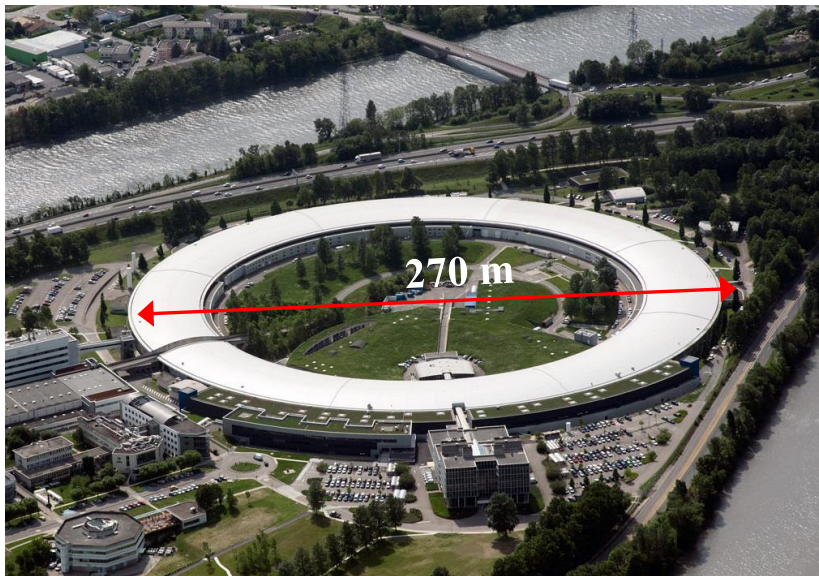
Courtesy: M. Kitchen et al. / Monash University



Courtesy: G. Tromba et al. / Elettra TS

# FROM SYNCHROTRON TO ICS X SOURCES

## SYNCHROTRONS UNDULATOR



$$E_X^u \sim hc \frac{E_u^2}{\lambda_u}$$

X-ray energy has similar expressions but...

$$\lambda_{ph} \sim 10^{-4} \lambda_u$$

## COMPACT SOURCE ICS

$$E_X^{ICS} \sim 4hc \frac{E_{ICS}^2}{\lambda_{ph}}$$

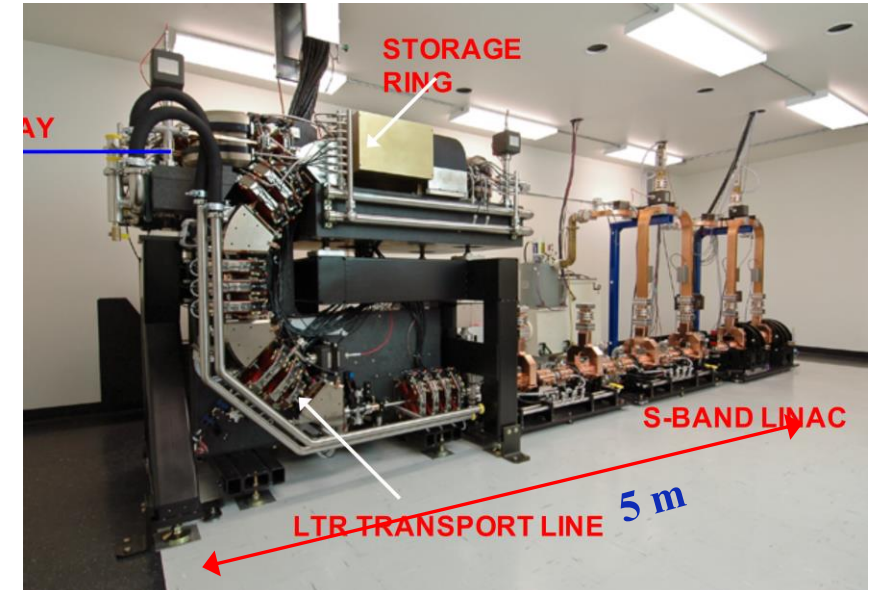
**TWO BIG  
ADVANTAGES**

$$E_{ICS} \sim 10^{-2} E_u$$

COMPACTNESS, COSTS  
*HIGHER  $E_x$  @ LOWER  $E_u$*

$$\alpha_X^{ICS} \gg \alpha_X^u$$

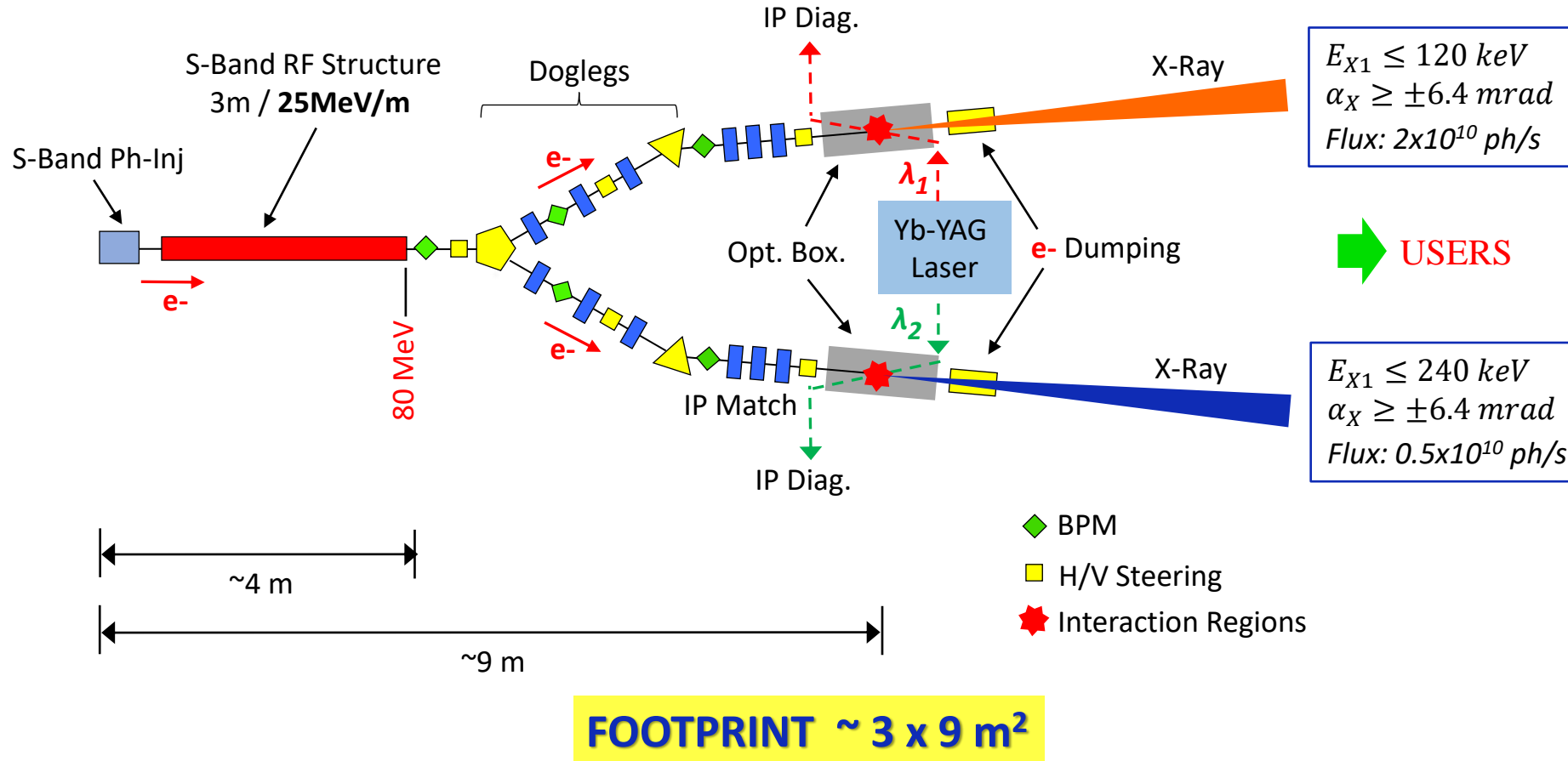
SHORTER  
IMAGING DISTANCE



**CLS: 40 MeV e- / 5x4 m<sup>2</sup> footprint  
30-40 keV X-rays**

**ESRF: 6 GeV e- / 844 m Circumference  
10-40 keV X-rays**

## Double Arm S-Band STAR-like Source



## SHORT PARAMETER LIST

Scattered Photon **Energy** scales with  
the **square** of the **electron Energy**  
and the **Laser Harmonic**

$$E_x = 1.9 \times 10^{-2} \frac{E_e^2 (\text{MeV})}{|I_{ph}^0 (\text{mm})|} h_L$$

Key parameters range

$E_e$  40 - 80 MeV

$h_L$  = 1 flux  $2 \times 10^{10}$  ph/s

$E_x$  30-120 KeV

$h_L$  = 2 flux  $0.5 \times 10^{10}$  ph/s

$E_x$  60-240 KeV

SOURCE	PARAMETER	VALUE
LINAC	Energy	MeV
	Bunch charge	pC
	Bunch length	ps
	Peak current	A
	Avg. current	$\mu$ A
	Rep. Rate	Hz
Yb-YAG LASER	Pulse Energy	J
	Wavelength	nm
	Harmonic $h_L$	
	Pulse duration	ps
	Rep. Rate	Hz
X-ray	Energy	keV
	Pulse duration	ps
	Flux	ph/s
	Divergence	mrad

Scattered Photon **Flux** scales with  
the **Linac current** and the  
**Inverse square** of the the **Laser Harmonic**

$$N_x = S_T L = \frac{S_T}{A(\text{j})} \frac{E_{LP}^0 I_{linac}}{e hc} \frac{|I_{ph}^0|}{h_L^2}$$